



POLITECHNIKA ŚLĄSKA
WYDZIAŁ AUTOMATYKI, ELEKTRONIKI I INFORMATYKI

Praca dyplomowa inżynierska

Tworzenie muzyki za pomocą sztucznych sieci neuronowych

autor: Grzegorz Kazana

kierujący pracą: dr inż. Grzegorz Baron

Gliwice, grudzień 2019

Oświadczenie

Wyrażam zgodę / Nie wyrażam zgody* na udostępnienie mojej pracy dyplomowej / rozprawy doktorskiej*.

Gliwice, dnia 3 grudnia 2019

.....
(podpis)

.....
(poświadczenie wiarygodności
podpisu przez Dziekanat)

* podkreślić właściwe

Oświadczenie promotora

Oświadczam, że praca „Tworzenie muzyki za pomocą sztucznych sieci neuronowych” spełnia wymagania formalne pracy dyplomowej inżynierskiej.

Gliwice, dnia 3 grudnia 2019

.....
(podpis promotora)

Spis treści

1	Wstęp	1
1.1	Cel i zastosowania	2
1.2	Zakres pracy	2
2	Analiza tematu	3
2.1	Wprowadzenie do dziedziny	3
2.2	Założenia	4
2.3	Przegląd literatury	5
2.4	Odniesienie do istniejących prac	6
2.5	Opis narzędzi	7
3	Dobór danych	9
3.1	Porównanie formatów danych	10
3.1.1	Pliki audio	10
3.1.2	Notacja ABC	10
3.1.3	Format midi	11
3.1.4	Podsumowanie	12
3.2	Opis wybranego zbioru danych	12
4	Sposoby reprezentacji danych	13
4.1	Reprezentacja dźwięków	13
4.1.1	Kody 1 z N i M z N	14
4.1.2	Wektory zanurzone	14
4.2	Reprezentacja czasu	15
4.2.1	Próbkowanie	15

4.2.2	Grupowanie długości dźwięków	16
4.3	Podsumowanie	16
5	Uczenie	17
5.1	Architektura modelu	17
5.2	Dobór parametrów	18
5.3	Proces uczenia	18
6	Generowanie próbek	23
6.1	Opis podejścia	23
6.2	Opisy ziaren	23
7	Analiza wyników	25
7.1	Miary i ich definicje	25
7.2	Pomiar zbioru treningowego	26
7.3	Wyniki	29
7.4	Wrażenia subiektywne	31
8	Wnioski	35

Rozdział 1

Wstęp

Współczesne zastosowania metod uczenia maszynowego są bardzo szerokie. Codziennie, często nieświadomie, korzystamy z usług i produktów których działanie nie byłoby tak skuteczne lub nawet możliwe bez sztucznej inteligencji. Z pośród niezliczonej ilości problemów praktycznie niemożliwych do rozwiązania podejściami klasycznymi, takich jak detekcja i klasyfikacja obiektów na obrazach lub rozpoznawanie mowy, duża część zostaje rozwiązana z wykorzystaniem szerokiej gamy algorytmów oraz modeli uczenia.

Zadania stawiane przed systemami sztucznej inteligencji można podzielić między innymi na problemy:

- klasyfikacji - polegające na przypisaniu przykładu do określonej kategorii, na przykład rozpoznawanie obiektów na obrazie
- grupowania - polegające na wyodrębnieniu przypadków o podobnych cechach lub współwystępujących, na przykład systemy sugerujące przedmioty w sklepach internetowych na podstawie dotychczasowych wyborów
- regresji - polegające na oszacowaniu wartości ciągłej dla poszczególnych przykładów, na przykład przewidywanie cen produktów.

Coraz szersze zastosowanie metod uczenia maszynowego prowadzi do powstawania pytań poruszających temat ich granic możliwości i zastosowań. Pomimo powszechności i znaczenia zastosowań przytoczonych kategorii problemów, nie można

w nich dostrzec przejawów kreatywności. Jednym z problemów, którego rozwiązanie byłoby silnym argumentem w debacie na temat kreatywności i zdolności twórczych systemów komputerowych jest komponowanie muzyki.

1.1 Cel i zastosowania

Celem pracy jest analiza różnych podejść do obróbki plików muzycznych oraz porównanie wyników sposobów syntezy próbek z wykorzystaniem metod uczenia maszynowego.

Pomimo że praca ma charakter badawczo-eksperymentatorski, opracowane metody oraz ich wyniki mogą potencjalnie znaleźć zastosowanie w zadaniach ekstrakcji stylu, augmentacji istniejących zbiorów danych, lub w optymistycznym scenariuszu jako narzędzie wspierające proces twórczy muzyków.

1.2 Zakres pracy

Do zadań autora pracy należy

- dobór zbioru danych
- dobór, implementacja i analiza metod przetwarzania plików muzycznych
- dobór i parametryzacja architektury modelu uczenia maszynowego
- wykorzystanie przygotowanych danych w procesie uczenia i syntezy nowych próbek
- ocena uzyskanych wyników

Rozdział 2

Analiza tematu

Celem zadania doboru i analizy metod obróbki plików muzycznych jest przekształcenie danych do postaci użytecznej przez algorytmy uczenia maszynowego. Do istotnych aspektów tego kroku należy między innymi stopień kompresji danych, sposób wyrażania relacji między przykładami, możliwość bezstratnej transformacji odwrotnej.

Zadanie generowania muzyki polega na ekstrakcji pewnych cech charakterystycznych przykładowych utworów, np. stylu konkretnego artysty, i wykorzystaniu ich przy syntezie tworzonych próbek.

2.1 Wprowadzenie do dziedziny

Jedną z najbardziej rozpowszechnionych metod uczenia maszynowego jest zastosowanie sieci neuronowych. Zaproponowane w latach czterdziestych i rozwijane w drugiej połowie XX wieku [5], sztuczne sieci neuronowe czerpią inspirację z sposobu funkcjonowania ludzkiego mózgu, który jest zbudowany z komórek nerwowych - neuronów. Połączenia między komórkami są modelowane poprzez wagi, reprezentujące siłę połączenia, a zjawisku aktywacji komórek w sieci odpowiada operacja ważonej sumy informacji pochodzących z połączonych neuronów oraz wag tych połączeń. W latach siedemdziesiątych opracowano algorytm uczenia sztucznych sieci z powodzeniem wykorzystywany do dziś - propagację wsteczną. Metoda ta polega na minimalizacji błędu predykcji poprzez regulację wag w oparciu o pochodną

funkcji błędu.

Zastosowania sieci neuronowych są bardzo szerokie i różnorodne. Zasadą będącym podparą uniwersalności sztucznych sieci neuronowych jest twierdzenie stanowiące o ich możliwości aproksymacji dowolnej funkcji ciągłej w zamkniętym przedziale [2].

Mimo tego, że ta metoda uczenia maszynowego jest znana od wielu dekad, dopiero w ostatnich latach przeżywa swoisty renesans spowodowany wzrostem dostępnej mocy obliczeniowej oraz możliwością zastosowania w procesie uczenia akceleratorów (na przykład kart graficznych) znacząco przyspieszających równoległe operacje matematyczne.

Ponieważ dane reprezentujące muzykę mają postać sekwencji rozłożonej w czasie, konieczne jest wykorzystanie sieci mających możliwość agregacji stanu, czyli architektur posiadających pamięć. Sieciami spełniającymi powyższy warunek są modele należące do grupy rekurencyjnych sieci neuronowych. Najprostszym przykładem rekurencyjnej sieci neuronowej jest sieć na której wejście przekazywany jest również stan wyjść z analizy poprzedniego elementu sekwencji.

Niestety, taka architektura jest narażona na wiele problemów, takich jak trudność tworzenia powiązań pomiędzy odległymi elementami sekwencji oraz zjawisko znikającego lub eksplodującego gradientu.

Architekturą rozwiązującą powyższe problemy jest architektura Long Short-term Memory network (LSTM) [4]. Autor rozszerza klasyczną sieć neuronową o globalną pamięć niezależną od stanu wyjść. Dane mogą zostać wprowadzone lub wymazane z pamięci dzięki warstwom bramkującym. Kosztem większych możliwości architektury jest zwielenokrotnienie ilości parametrów, co może przekładać się na dłuższy czas uczenia.

2.2 Założenia

Na potrzeby pracy została przyjęta następująca definicja muzyki:

Muzyką nazywamy ciągi dźwięków tworzące kompozycyjną całość.

Utwory muzyczne można analizować pod wieloma względami, takimi jak:

- rytmiczność - organizacja dźwięków w czasie

- melodyczność - sposób zestawiania następujących dźwięków
- harmonicznosc - spójność i ład występujący między dźwiękami
- dynamika - zróżnicowanie siły dźwięków

W kontekście pracy skupiono się na dwóch aspektach wynikających z powyższej definicji: rytmiczności i tonalności.

2.3 Przegląd literatury

W podobnej tematyce powstało wiele prac, lecz każda wyróżnia się innym podejściem do problemu.

Elementem wspólnym dużej części prac jest wykorzystany format danych wejściowych. W większości studiowanych artykułów, twórcy decydują się na wykorzystanie danych muzycznych w formacie midi [13, 3, 12, 7], aczkolwiek równie popularnym wyjściem jest skorzystanie z plików notacji ABC [1, 10]. Najrzadsze jest podejście opierające się o wykorzystanie nieprzetworzonych plików audio, na przykład w formacie wave [11].

Jedną z różnic występujących między podejściami jest sposób obróbki i tworzenia wewnętrznej reprezentacji danych, gdyż praktycznie wszyscy autorzy proponują własne rozwiązanie problemu. W przypadku danych tekstowych w formacie ABC, częstym elementem jest ograniczenie lub usunięcie meta informacji zawartych w plikach [1, 10] oraz pominięcie białych znaków. Konkretnie znaki zapisu są albo przedstawione jako wektory kodu 1 z N [10], lub przekształcane są kolejne wartości liczb naturalnych [1]. W pracach korzystających z plików midi, częstym podejściem do problemu reprezentacji wysokości dźwięku jest zastosowanie kodu 1 z N [13]. Większym zróżnicowaniem cechuje się podejście do reprezentacji danych w wymiarze czasu. Duża część podejść opiera się na restrykcji możliwych wartości rytmicznych do ustalonego dyskretnego zbioru [3, 12], podczas gdy stosowane są również podejścia korzystające z wewnętrznej częstotliwości próbkowania plików midi [7].

Kluczowym aspektem wszystkich prac jest dobór modelu uczenia maszynowego. Najbardziej popularnym wyborem są rekurencyjne sieci neuronowe [1, 10,

9, 7], ale opisywane są również inne podejścia, na przykład:

- modele kontekstowe, takie jak Continuous Bag-of-Words [1],
- modele generatywno-adwersyjne (Generative Adversarial Networks) [1, 7]
- modele oparte o sieci konwolucyjne [13, 11].

Aspektem wartym zwrócenia uwagi, są również poczynione założenia i nałożone ograniczenia. Niektóre metody przytoczone przez autorów prac wymagają:

- pominięcia elementów polifonicznych utworów [10, 3],
- ograniczenia zbioru danych do utworów będących w ustalonej tonacji i/lub ustalonym metrum [10, 12],
- ograniczenia występujących wartości rytmicznych [3].

2.4 Odniesienie do istniejących prac

Niniejsza praca w kolejnych rozdziałach prezentuje analizę różnych podejść do kolejnych etapów procesu implementacji systemu, którego celem jest generowanie utworów muzycznych.

W rozdziale 3. poruszono problem wyboru formatu danych, oraz przedstawiono opis zbioru na którym były przeprowadzane eksperymenty. Przedstawiono również potencjalne trudności wiążące się z wyborem poszczególnych źródeł danych.

W kolejnym rozdziale omówiono różne podejścia do zagadnienia reprezentacji wybranego formatu danych w postaci numerycznej. Rozdział zawiera również opis wad i zalet każdego z podejść.

Treścią piątego rozdziału jest przedstawienie obranego typu modelu uczenia maszynowego oraz wybranej architektury, razem z opisem procesu uczenia.

Rozdział poświęcony generacji próbek zawiera opis przyjętego podejścia oraz sposobów wymuszania procesu generacji.

Dalsze rozdziały poświęcone są analizie wyników, wnioskowi i sugestiom zmian w procesie mających na celu poprawienie otrzymywanych rezultatów.

2.5 Opis narzędzi

Podczas implementacji korzystano z narzędzi:

- Google Colab - usługa będąca środowiskiem obliczeniowym przystosowanym do uruchamiania skryptów w języku Python, z dostępem do akceleratorów obliczeniowych w postaci kart graficznych i jednostek tensorowych,
- Tensorflow - biblioteka języka Python służąca do wydajnych obliczeń, ułatwiająca tworzenie i uczenia głębokich sieci neuronowych. Podczas pracy skorzystano z wysokopoziomowego interfejsu `tf.keras`, zawierającego predefiniowane architektury i warstwy sieci,
- Jupyter notebook - środowisko uruchomieniowe języka Python, umożliwiające przejrzystą ilustrację wykonywanych operacji,
- mido - biblioteka ułatwiająca otwieranie i przetwarzania plików w formacie midi.

Rozdział 3

Dobór danych

Jednym z kluczowych aspektów każdego procesu analizy danych i uczenia maszynowego jest odpowiedni dobór danych. Decyzje podjęte na tym etapie pociągają za sobą konsekwencje w kolejnych etapach procesu. W zależności od postaci danych wejściowych, określany jest konieczny nakład pracy w procesie ich obróbki. Ponadto, odpowiedni dobór danych ma znaczący wpływ na otrzymywane wyniki.

W przypadku danych muzycznych należy zwrócić między innymi na cechy takie jak:

- dostępność danych treningowych,
- sposób reprezentacji upływu czasu,
- sposób wyrażenia wysokości dźwięku,
- jasne przedstawienie zależności między dźwiękami,
- stopień kompresji,
- złożoność samego formatu oraz możliwość istnienia niepoprawnych reprezentacji.

3.1 Porównanie formatów danych

3.1.1 Pliki audio

Najmniej restrykcyjnymi formatami plików audio są formaty będące zapisem amplitudy fali akustycznej. Przykładami plików tego rodzaju są pliki WAV oraz AIFF. Kluczowym parametrem plików audio jest częstotliwość próbkowania. Od niej zależy zakres możliwych do wyrażenia częstotliwości. Typową wartością dla plików WAV jest 44100Hz, co według twierdzenia Nyquista-Shannona przekłada się na zakres częstotliwości ograniczony wartością 22050Hz [8], będącą bliską granicą słyszalności ucha ludzkiego.

W przeciwieństwie do pozostałych opisanych formatów, wysokości dźwięków wyrażone są jedynie poprzez sekwencje zmian amplitudy sygnału, przez co ich ekstrakcja wymagałaby wykorzystania transformaty Fouriera.

Największą zaletą i wadą tego formatu jednocześnie jest jego swoboda. Postać fali akustycznej pozwala na przedstawienie każdego dźwięku będącego w paśmie przenoszenia, za równo złożonych wieloinstrumentowych kompozycji muzycznych, prostych melodii, jak i dźwięków nie podlegających pod definicję muzyki. Prowadzi to do niskiego stopnia kompresji informacji, wymuszającego złożone metody obróbki i skomplikowane modele uczenia.

3.1.2 Notacja ABC

Notacja ABC jest jedną z cyfrowych postaci klasycznego zapisu nutowego. Dane w plikach ABC przedstawione są za pomocą znaków ASCII.

Ponieważ jest to odpowiednik zapisu nutowego, oznacza to że za równo wysokości dźwięków, jak i wartości rytmiczne należą do dyskretnego zbioru. Fakt ten nakłada spore ograniczenie na treść plików, lecz w kontekście muzyki są to ograniczenia bardzo pomocne.

Poza informacją o samym dźwięku i jego wartości rytmicznej, format zawiera również metadane utworu takie jak autor, sygnatura i tempo. Przykładowy fragment utworu w notacji ABC przedstawia ilustracja 3.1.

Dużą zaletą tego formatu jest jego wysoki stopień kompresji, za pomocą relatywnie krótkich ciągów znaków jesteśmy w stanie opisać znaczną część utworu

```

X:1
T:Speed the Plough
M:4/4
C:Trad.
K:G
 |:GABc dedB|dedB dedB|c2ec B2dB|c2A2 A2BA|
   GABc dedB|dedB dedB|c2ec B2dB|A2F2 G4:|
 |:g2gf gdBd|g2f2 e2d2|c2ec B2dB|c2A2 A2df|
   g2gf g2Bd|g2f2 e2d2|c2ec B2dB|A2F2 G4:|

```

Rysunek 3.1: Przykładowy zapis w notacji ABC

muzycznego. Głównym mankamentem notacji ABC w kontekście niniejszej pracy jest fakt, że nie wszystkie ciągi znaków są poprawnymi zapisami w notacji ABC. Oznacza to, że pojedyncze błędy w generowanych sekwencjach mogą powodować niepoprawność całego utworu. W przypadku niemożliwości wyuczenia modelu tworzenia całkowicie poprawnych sekwencji niemożliwa byłaby transformacja dowolnej sekwencji do pliku midi. Chcąc zapewnić możliwość generacji utworów muzycznych konieczna byłaby walidacja i implementacja obsługi i poprawiania błędów w zapisie.

3.1.3 Format midi

Pliki w formacie midi są zapisem wiadomości przesyłanych protokołem komunikacyjnym o ten samej nazwie. Każdy plik midi składa się z kanałów oraz ścieżek. Poszczególne kanały reprezentują poszczególne instrumenty biorące udział w nagraniu. Na poszczególnych ścieżkach znajdują się wiadomości reprezentujące zdarzenia w utworze. Do najczęstszych z nich należą: `note_on`, `note_off`, `set_tempo`.

W przypadku wiadomości związanych z rozpoczęciem lub zakończeniem dźwięku dołączony jest również numer dźwięku z zakresu 0-127. Wartości tego parametru odpowiadają kolejnym dźwiękom skali dwunastotonowej poczynając od C-1 i kończąc na G9. Dostępne dźwięki są nadzbiorem dźwięków dostępnych na 88 klawiszowej klawiaturze klasycznego fortepianu.

Dodatkowym parametrem każdej wiadomości jest wartość `time`, będąca ilością taktów (ang. 'ticks') które upłynęły od poprzedniej wiadomości. Oznacza to, że długość trwania dźwięku można wyznaczyć poprzez zsumowanie parametrów `time`

wiadomości występujących pomiędzy odpowiadającymi sobie zdarzeniami `note_on` i `note_off`.

Możliwa jest konwersja wartości za równo na czas w milisekundach jak i wartości rytmiczne. Stałe potrzebne do tych przekształceń są najczęściej zawarte w meta wiadomościach znajdujących się na początku utworu.

Zaletą formatu midi jest dyskretna reprezentacja wysokości dźwięku oraz pozwalająca na elastyczną interpretację postaci wpływu czasu.

3.1.4 Podsumowanie

Wszystkie omówione formaty danych mają wady i zalety. Cechą opisującą wszystkie z nich, jest bogata dostępność danych, przez co wybór dokonano na podstawie pozostałych cech. W dalszej części pracy opisywane podejścia będą dotyczyć się jedynie plików w formacie midi, na którego wybór zdecydowano się drogą eliminacji. Pliki audio odrzucono przez wymaganą złożoność wstępnej obróbki, a notację ABC z powodu obaw związanych z trudnościami zagwarantowania syntaktycznej poprawności generowanych ciągów znaków.

3.2 Opis wybranego zbioru danych

Do dalszych eksperymentów, opierających się na różnych sposobach tworzenia numerycznej reprezentacji danych wybrano stosunkowo mały zbiór zawierający utwory z serii gier Pokemon wyprodukowanych na konsolę Nintendo. Zbiór składa się z dziesięciu utworów o średniej długości wynoszącej 90 sekund. Kompozycje zawierają za równo elementy monofoniczne, jak i polifoniczne. Główną motywacją wyboru tego zbioru była jego mała obszerność, co pozwalało na szybsze testowanie metod obróbki danych i procesu uczenia.

Rozdział 4

Sposoby reprezentacji danych

Znaczna część modeli uczenia maszynowego, w tym sieci neuronowe, wymagają danych w postaci numerycznej. Odpowiednio dobierając proces przekształcania danych jesteśmy w stanie nie tylko umożliwić skorzystanie z tych modeli, ale możemy również uwypuklić informacje prawdziwie w nim istotne, co skróci i ułatwi proces uczenia modelu.

Poniższy rozdział zawiera analizę różnych podejść do przedstawionego problemu.

4.1 Reprezentacja dźwięków

Pierwszym z wymiarów danych muzycznych są wysokości dźwięków. W przypadku plików midi oryginalnie są to liczby z przedziału 0-127. Są to już dane numeryczne, które moglibyśmy teoretycznie wykorzystać jest bezpośrednio do uczenia modelu. W takim przypadku nasze zadanie sprowadziłoby się do problemu regresji, ponieważ próbowalibyśmy oszacować wartość numeryczną, którą następnie trzeba by ograniczyć do liczb całkowitych z dozwolonego zakresu.

Jedną z wad tego rozwiązania, jest fałszywe przedstawienie relacji między dźwiękami. Dźwięki znajdujące się w bliższym sąsiedztwie byłyby traktowane jako bardziej sobie podobne. Takie założenie w muzyce nie zawsze jest prawdą. Przykładowo, dźwięki 60 i 66 (C4 i F#4), znajdują się relatywnie blisko, mimo tego że występuje między nimi interwał trytonu, będący jednym z najsilniejszych dyso-

nansów w skali dwunastotonowej. Z drugiej strony, dźwięki 60 i 84 (C4 i C6) dzieli spora odległość, mimo tego że jest to ten sam dźwięk zagrany dwie oktawy wyżej.

Niniejsze problemy można próbować zaadresować poprzez stosowanie poniższych podejść.

4.1.1 Kody 1 z N i M z N

Klasycznym sposobem na rozwiązanie powyższego problemu jest zastosowanie kodu 1 z N. W przypadku informacji o dźwiękach midi, oznaczałoby to wypełnienie wektora 128 zerami, i postawieniem jedynki na pozycji reprezentującej dany dźwięk. Zaletą tego rozwiązania jest możliwość reprezentacji melodii polifonicznych, co przekształciłoby powyższy kod w kod M z N, gdzie M to ilość dźwięków granych jednocześnie w danym momencie sekwencji. Mimo tego, że w taki sposób unikamy problemu fałszywych zależności między sąsiednimi dźwiękami, to nie reprezentujemy również zależności mogących być użytecznych w procesie uczenia, takich jak w przypadku reprezentacji dźwięków odległych o oktawy. Kolejnym problemem tego podejścia jest również znaczący wzrost wymiarowości danych i spadek ich kompresji, co przełoży się na wolniejszy proces uczenia.

4.1.2 Wektory zanurzone

Powyższy problem dużej wymiarowości i niemożliwości wyrażenia relacji między obiektami nie jest charakterystyczny tylko i wyłącznie dla analizy dźwięku. Problem ten występuje również w dziale przetwarzania języka naturalnego. Również w kontekście modeli operujących na fragmentach języka każdy wyraz stanowi jeden element z N, gdzie N jest rozmiarem słownika - zbioru wszystkich wyrazów.

Rozwiązaniem cieszącym się dużą popularnością jest algorytm Word2Vec zaproponowany w roku 2013 [6]. Jest to algorytm służący do wyznaczenia ukrytej reprezentacji kodów 1 z N w postaci wektorów wartości ciągłych o dużo mniejszym wymiarze. Metoda opiera się na założeniu twierdzącym że wektory o podobnym znaczeniu występują w sąsiedztwie podobnych lub nawet tych samych wyrazów. Ponieważ to założenie jest również prawdziwe w kontekście muzyki przyjęto użycie algorytmu Word2Vec za podstawne.

Jedyną modyfikacją potrzebną do wykorzystania tej metody do przykładów polifonicznych, było traktowanie całych wielodźwięków jako pojedynczych obiektów w słowniku. Pozwoliła na to transformacja wektorów kodu M z N na ciągi znaków reprezentujących wybrzmiewające dźwięki.

4.2 Reprezentacja czasu

Drugim wymiarem danych muzycznych jest czas. Ponownie, wartość oznaczająca upływ czasu mogłaby użyta bezpośrednio, znów sprowadzając problem do regresji. Dodatkowo, rozsądnym krokiem byłoby znormalizowanie wartości w impulsach midi do arbitralnie wybranej wartości reprezentującej konkretną wartość rytmiczną. Przykładowym mapowaniem mogłoby być przyjęcie wartości 1 dla ćwierćnut.

Głównym mankamentem tego rozwiązania jest spowodowane naturą regresji ryzyko niemożliwości precyzyjnego wyuczenia dokładnych wartości rytmicznych, a jedynie oscylowanie między wartościami. W takim przypadku generowana muzyka mogłaby nie sprawiać wrażenia rytmicznej, gdyż następujące dźwięki nie tworzyłyby spójnych taktów.

4.2.1 Próbkowanie

Alternatywną metodą analizy upływu czasu jest próbkowanie. Z przyjętą częstotliwością próbkowania, możliwe byłoby tworzenie listy aktualnie wybrzmiewających dźwięków i zapełnienie macierzy o wymiarach $t \times n$, gdzie n to wymiarowość reprezentacji wysokości dźwięku, a t to ilość pobranych próbek w danym fragmencie utworu.

Ponieważ dźwięki zawsze trwają wielokrotność pewnej wartości, można wysnuć tezę twierdzącą, że łatwiejsze byłoby odtworzenie rytmicznego charakteru muzyki. Wadą tego podejścia jest konieczność doboru częstotliwości próbkowania. Zbyt niskie wartości uniemożliwiłyby precyzyjne przestawienie utworu. Natomiast, wraz z wyborem większej częstotliwości próbkowania, te same dźwięki byłyby reprezentowane przez większą ilość wektorów, co powodowały oddalenie następujących dźwięków w sekwencji i utrudnienie uczenia.

4.2.2 Grupowanie długości dźwięków

Podejściem łączącym zalety obydwu rozwiązań, jest przeprowadzenie grupowania znormalizowanych wartości parametru czasu w odniesieniu do ustalonej wartości rytmicznej. W ten sposób możliwe byłoby odzwierciedlenie wartości rytmicznych występujących w zbiorze danych i przedstawienie ich w dyskretny sposób bez arbitralnego określania zbioru dozwolonych wartości. Po podziale wartości rytmicznych na niezależne klasy problem zostanie przekształcony do problemu klasyfikacji 1 z N.

4.3 Podsumowanie

Z powodu zalet i wad każdej z metod przedstawionych w powyższej analizie, zdecydowano się na reprezentacje dźwięków w postaci wektorów zanurzonych, a wybraną reprezentacją czasu zostały dyskretne wartości uzyskane poprzez grupowanie.

Rozdział 5

Uczenie

Do przetworzenia danych do wybranej postaci, również zostały wykorzystane modele wymagające uczenia. Pierwszym z opisanych nich jest model k-Means, który został wykorzystany w celu wyznaczenia klastrow długości trwania dźwięków. Do głównych parametrów tego modelu należy docelowa ilość klastrow, ilość iteracji oraz niezależnych uruchomień modelu mające na celu rozwiązanie problemu zatrzymywania uczenia w lokalnym minimum.

Kolejnym zastosowaniem uczenia maszynowego w etapie przetwarzania danych było użycie algorytmu Word2Vec. Algorytm został użyty do wyznaczenia ciągłej reprezentacji rzadkich wektorów reprezentujących dźwięki. Model wymagał określenia docelowej wymiarowości wektorów i rozmiaru kontekstu.

W poniższych podrozdziałach skupiono się jednak na uczeniu głównego modelu, czyli sieci neuronowej której zadaniem jest ekstrakcja cech utworów treningowych.

5.1 Architektura modelu

Otrzymawszy dane w postaci sekwencji par wektorów opisujących dźwięki i ich czas trwania, przystąpiono do projektu architektury modelu. Z powodu dwuelementowej postaci danych zdecydowano się na zaprojektowanie modelu dwuwęściowego i dwuwyjściowego.

Ponieważ charakter wektorów w sekwencji jest różny - wartości ciągłe opisujące dźwięki i kategoriowy kod 1 z N opisujący długość dźwięku - przed złączeniem

wektorów postanowiono przekształcić wektor 1 z N przez warstwę gęstą o wymiarze mniejszym niż N. Celem tej operacji było wprowadzenie konieczności przez sieć kompresji informacji, co najprawdopodobniej przełoży się na wyznaczenie ciągłej reprezentacji kodu o mniejszej wymiarowości.

Następnie wektory zostają złączone, i ich sekwencje trafiają do warstw rekurencyjnej sieci LSTM, w której model ma szansę ekstrahować wiedzę o zależnościach między elementami sekwencji.

Otrzymywane wektory są połączone do osobnych, mniejszych sieci LSTM i następnie poprzez warstwy gęsto połączone stają się osobnymi wyjściami modelu.

Wyjście odpowiedzialne za dźwięki uczone jest funkcją błędu odpowiednią do problemu regresji - błędem średniokwadratowym, a wyjście klasyfikujące długość dźwięku funkcją odpowiednią dla zadania klasyfikacji 1 z N - categorical crossentropy.

5.2 Dobór parametrów

Podczas procesu uczenia najistotniejszymi parametrami były:

- rozmiar okna, czyli długość uczonych sekwencji,
- ilość przykładów w wiązce, czyli ile sekwencji było uczonych jednocześnie poprzedzając pojedyncze przeprowadzenie algorytmu propagacji wstecznej,
- rozmiar głównej sieci LSTM.

5.3 Proces uczenia

Podczas uczenia modelu zdecydowano się na dynamiczny rozmiar okna, będący liczbą losową z zakresu $<15, 50>$. Motywacją tego wyboru były testowe uruchomienia modelu potwierdzające zdroworozsądkową intuicję mówiącą, że większe wartości umożliwią uczenie dłuższych powtarzających się motywów, a krótsze lokalne następstwo nut.

Dodatkowo, warto przybliżyć sposób tworzenia przypadków testowych. Naiwnym podejściem byłoby jednokrotne utworzenie zbioru danych poprzez utworzenie

wszystkich możliwych podciągów o zadanej długości (rozmiarze okna) i dalsze używanie ich jako statycznej listy przypadków. Takie rozwiązanie nie umożliwiałoby dynamicznej zmiany długości sekwencji, i wymagałoby dodatkowego kroku w procesie przetwarzania danych. Alternatywnym podejściem, na które się zdecydowano jest dynamiczne wybieranie losowych podciągów z utworów należących do zbioru danych, które odbywa się równoległe z uczeniem modelu. Główną obawą jaką można posiadać do takiego podejścia jest jego narzut podczas uczenia modelu, aczkolwiek zaobserwowano że tempo przygotowania i kolejkovania kolejnych przypadków testowych znacznie przewyższa tempo ich uczenia.

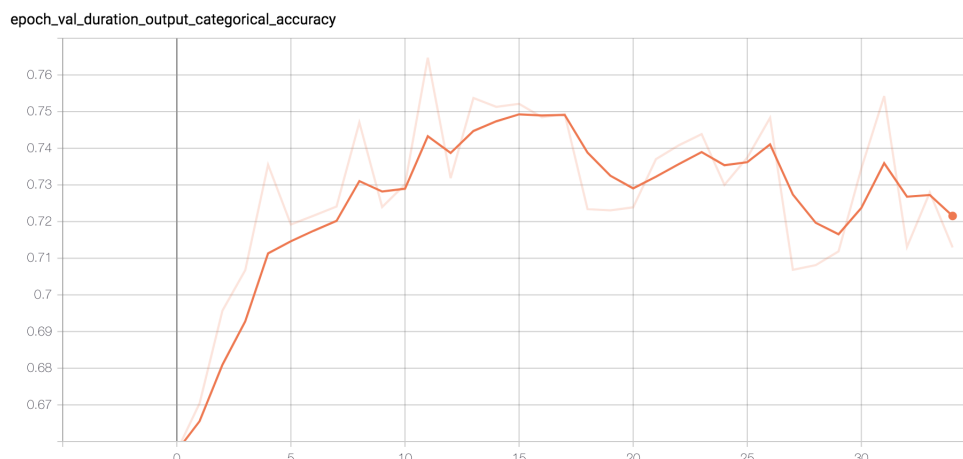
Podczas testowania różnych wartości innych parametrów, zaobserwowano Interesujący wpływ ilości przykładów w wiązce. Większe wartości, rzędu 16 lub 32 miały negatywny wpływ na jakość generowanych sekwencji. Mniejsze wartości prowadziły do przetrenowania modelu.

Rozmiar głównej sieci miał spodziewany efekt, nieodpowiednio duży prowadził do przetrenowania. Dla obecnego zbioru danych zdecydowano się zachować wartość 64 jednostek.

Podczas uczenia monitorowano metryki opisujące jakość predykcji i postęp uczenia modelu. Do mierzonych metryk należą funkcje błędu dla poszczególnych wyjść modelu, średni błąd kwadratowy wyjścia reprezentującego wektory dźwięków oraz kategoriyczna dokładność stwierdzająca czy najwyższa wartość wektorów znajduje się na tym samym indeksie.

Uczenie podzielone było na epoki. W klasycznych zastosowaniach przez jedną epokę rozumie się jednokrotne wykorzystanie każdego przykładu z zbioru treningowego. Jednakże z powodu opisanego powyżej sposobu otrzymywania przypadków testowych, niemożliwe było wykorzystanie tej definicji. Zdecydowano się na arbitralne przyjęcie konkretnej ilości przypadków testowych jako jednostkę jednej epoki. Obraną wartością był tysiąc.

Po ukończeniu każdej epoki przeprowadzane były pomiary skuteczności modelu na danych wyjętych spoza korpusu danych treningowych. Ponieważ problematycznym byłoby wydzielenie sekwencji walidacyjnych z części środkowych utworów, zdecydowano się zarezerwować ostatnich 25 elementów sekwencji z każdego utworu. Na podstawie powyższych wyników, można wyciągać wnioski dotyczące postępu uczenia modelu.

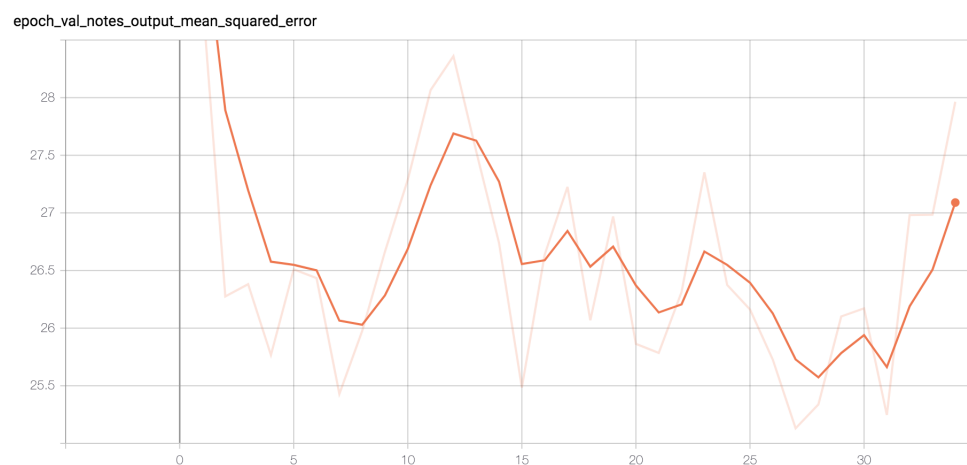


Rysunek 5.1: Wartości miary precyzji predykcji długości trwania dźwięków

Uczenie zaplanowano na okres 35 epok, co przełożyło się na czas bliski 20 minut. Do uczenia wykorzystano akcelerację sprzętową w postaci karty graficznej dostępnej w usłudze chmury obliczeniowej Google Colab.

Ilustracje 5.1 i 5.2 zawierają wykresy opisujące miary postępu uczenia podczas kroków walidacyjnych.

Na ilustracjach można dostrzec trafność predykcji klasy długości trwania dźwięku, oraz błąd średniokwadratowy predykcji wektorów dźwięków. W pierwszej połowie uczenia na obydwu wykresach można zaobserwować pożądaną tendencję, czyli wzrost trafności i spadek błędu. Po kolejnych epokach postęp uczenia malał, lub nawet zachodził jego regres.



Rysunek 5.2: Wartości błędu średniokwadratowego predykcji wektora dźwięków

Rozdział 6

Generowanie próbek

Opierając się na założeniu, że wyuczony model posiada pewną wiedzę możliwe jest przejście do procesu generowania próbek.

6.1 Opis podejścia

Proces otrzymywania generowanych sekwencji zależy od rodzaju modelu. W przypadku modeli typu sequence-to-sequence, możliwe byłoby podanie losowego wektora na część modelu w którym dokonuje się przekształcenie jednowymiarowej postaci ukrytej na sekwencję. Przy zastosowaniu architektury opisanej w poprzednim rozdziale, konieczne będzie rozpoczynanie generacji sekwencją, dalej nazywaną ziarnem.

Ponieważ opracowany model na przekształca sekwencje danych wejściowych na sekwencje o tej samej długości, sekwencja otrzymana po zadaniu ziarna będzie tej samej długości. Proponowanym rozwiązaniem tego problemu jest łączenie sekwencji wejściowych z sekwencjami wyjściowymi, i ponowne wprowadzenie jej do sieci. Krok ten jest powtarzany aż do otrzymania sekwencji o pożądanej długości.

6.2 Opisy ziaren

Kolejną kwestią, którą rozważono, jest opracowanie sposobów generowania ziaren. Oczywiście pomysł jest zastosowanie wektorów o wartościach zerowych lub

losowych.

Ponadto, opracowano ziarna zawierające pojedynczy dźwięk, sekwencję losowych dźwięków i sekwencję dźwięków często współwystępujących. Dźwięki współwystępujące są wybierane poprzez porównanie odległości między składowymi ich wektorów i wybranie wektorów o zbliżonych składowych.

Rozdział 7

Analiza wyników

Jednym z napotkanych problemów w procesie rozwoju procesu przetwarzania danych i projektu architektury modelu był czasochłonny krok oceny wyników. Po każdorazowym uczeniu modelu konieczne było generowanie próbek, konwersja ich postaci numerycznej na pliki midi, manualny odsłuch i subiektywna ocena.

W celu formalizacji wyników i uzyskania możliwości wygodniejszego sposobu oceny modelu, konieczne było wyznaczenie miar opisujących generowane próbki.

7.1 Miary i ich definicje

Na podstawie artykułu "On the evaluation of generative models in music"[14] zdecydowano się zaimplementować następujące miary:

- Rozpiętość tonalna - odległość między najniższym i najwyższym dźwiękiem, w przypadku plików midi ograniczona zakresem $\langle 0, 127 \rangle$,
- Histogram tonalny - rozkład występowania poszczególnych dźwięków z dwunastotonowej skali, niezależnie od oktawy,
- Macierz przejść dźwięków - dwuwymiarowa macierz przedstawiająca częstotliwość występowania par dźwięków następujących po sobie. Uwagi wymaga kwestia nanoszenia na macierz informacji o następujących po sobie wielodźwiękach, w celu oddania również takich zdarzeń, na macierz nanoszone są

pary będące wynikami iloczynu kartezjańskiego między składowymi wielodźwięków.

- Rozpiętość rytmiczna - odległość między najkrótszą i najdłuższą wartością rytmiczną występującą w mierzonej próbie. Ponieważ wartości kodu 1 z N są posortowane według długości trwania, może być wyrażona poprzez różnicę indeksów między klasami kodu 1 z N. Przyjmuje wartości z zakresu $<0, \text{ilość klas rytmicznych}>$.
- Histogram rytmiczny - rozkład występowania poszczególnych klas wartości rytmicznych.
- Macierz przejść wartości rytmicznych - opisuje częstość przejść między konkretnymi wartościami rytmicznymi.

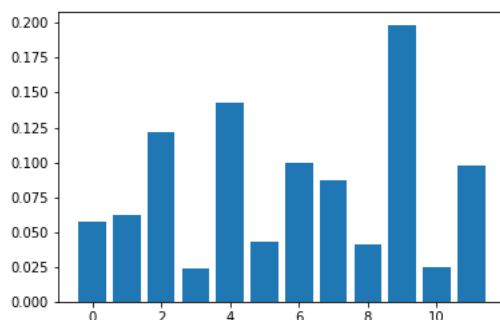
Dodatkowo, opracowano dwie miary mierzące stopień kompresji generowanych ciągów dźwięków i wartości rytmicznych. Intuicją idącą za uznaniem stopnia kompresji jako istotny parametr jest fakt wynikający z zasady działania dużej części algorytmów kompresji, w których powtarzające się ciągi znaków są zastępowane krótszym znacznikiem wskazującym na pierwsze wystąpienie ciągu. Oznacza to, że sekwencje charakteryzujące się większą powtarzalnością mogą zostać skompresowane w większym stopniu. Główną zaletą tej miary jest jej zdolność wykrywania powtarzających się ciągów rozsuniętych w czasie, co stanowi uzupełnienie bardziej lokalnej miary, jaką jest macierz przejść.

W celu możliwości skorzystania z dostępnych algorytmów, sekwencje dźwięków i wartości rytmicznych zostały przekształcone na ciągi znaków. W przypadku wektorów opisujących dźwięki zdecydowano się na zapis symboli kolejnych dźwięków. Wartości rytmiczne przedstawione były przez indeksy odpowiadających im klas.

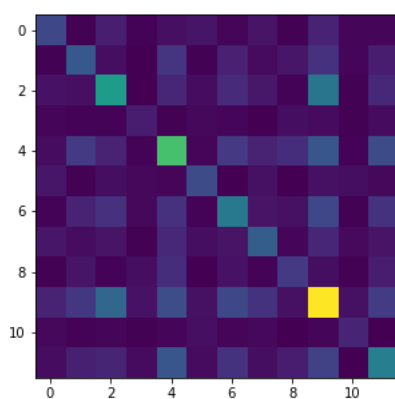
Do kompresji wykorzystano bibliotekę *zlib*, korzystającą z algorytmu *delfate*.

7.2 Pomiar zbioru treningowego

Ponieważ wartości miar będą różne dla każdego zbioru danych, w procesie oceny generowanych próbek powinno się je stosować w odniesieniu do wartości wyznaczonych dla całego zbioru danych treningowych.



Rysunek 7.1: Histogram występowania poszczególnych dźwięków

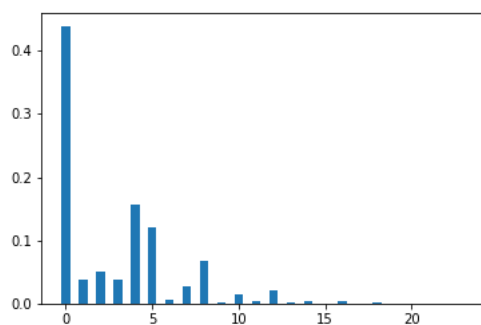


Rysunek 7.2: Macierz przejść dźwięków

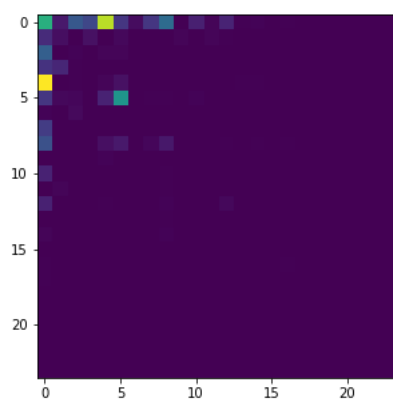
Na ilustracjach 7.1, 7.2, 7.3, 7.4 oraz w tabeli 7.1 przedstawione są wartości miar całego zbioru testowego.

Na podstawie wykresów możemy wyciągnąć następujące wnioski:

- najczęściej występującym dźwiękiem w zbiorze jest A, a najrzadszym D \sharp ,
- wyższe wartości na przekątnej macierzy przejść dźwięków wskazują, że dźwięk występujący w bieżącym wielodźwięku często występuje również w następującym
- symetria macierzy przejść dźwięków wskazuje na brak silnego wpływu kierunku odtwarzania utworu na następstwa tonalne



Rysunek 7.3: Histogram występowania poszczególnych długości dźwięków



Rysunek 7.4: Macierz przejść długości dźwięków

	Zakres	Współczynnik kompresji
Wysokość dźwięków	69	6.932
Długość dźwięków	23	11.364

Tablica 7.1: Zakresy i współczynniki kompresji danych

Ziarno	Rozpiętość tonalna	Średnia kwadratowa różnicy histogramu tonalnego	Średnia kwadratowa różnicy tonalnej macierzy przejść	Współczynnik kompresji dźwięków
Wartości losowe rozkładu normalnego	65	0.026	0.112	7.69
Wektory zerowe	61	0.062	0.116	9.52
Pojedynczy dźwięk	67	0.025	0.111	9.83
Sekwencja losowych dźwięków	69	0.023	0.120	8.84
Harmoniczna sekwencja dźwięków	69	0.021	0.106	8.78

Tablica 7.2: Wyniki miar tonalnych próbek generowanych różnymi ziarnami

- klasy przedstawiające długości trwania dźwięków są silnie niezerównoważone

7.3 Wyniki

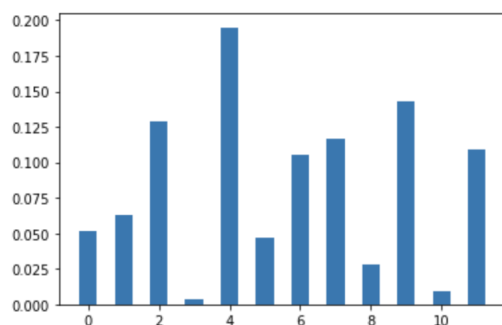
Kolejnym krokiem było wygenerowanie próbek, i opisanie ich za pomocą wymienionych miar. Zestawienie wartości miar i różnic w odniesieniu do zbioru treningowego przedstawiają tabele 7.2 i 7.3. Wyniki pogrupowano na podstawie użytego ziarna.

Występujące różnice między wynikami nie pozwalają na pewne wskazanie najlepszego ziarna, lecz zachęcają do wysunięcia kilku wniosków.

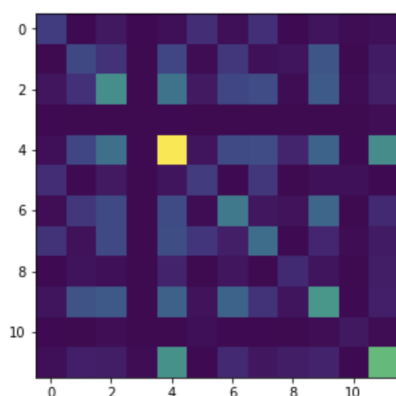
Wszystkie sekwencje poza inicjowanymi pustymi wektorami dają zbliżone różnice między histogramami i tonalnymi macierzami przejść. Sekwencje zapoczątkowane wartościami losowymi zgodnie z intuicją charakteryzują się niższym współczynnikiem kompresji, co może przekładać się na większe zróżnicowanie sekwencji dźwięków. Spośród zbadanych ziaren, sekwencje początkowane harmonicznym zestawem dźwięków najwierniej odwzorowały rozkłady następujących dźwięków.

Ziarno	Rozpiętość rytmiczna	Średnia kwadratowa różnicy histogramu rytmicznego	Średnia kwadratowa różnicy rytmicznej macierzy przejść	Współczynnik kompresji długości dźwięków
Wartości losowe rozkładu normalnego	19	0.019	0.034	7.99
Wektory zerowe	16	0.035	0.059	10.4
Pojedynczy dźwięk	20	0.030	0.042	9.52
Sekwencja losowych dźwięków	21	0.028	0.042	8.19
Harmoniczna sekwencja dźwięków	21	0.030	0.043	7.89

Tablica 7.3: Wyniki miar rytmicznych próbek generowanych różnymi ziarnami



Rysunek 7.5: Histogram występowania poszczególnych dźwięków w generowanych próbkach



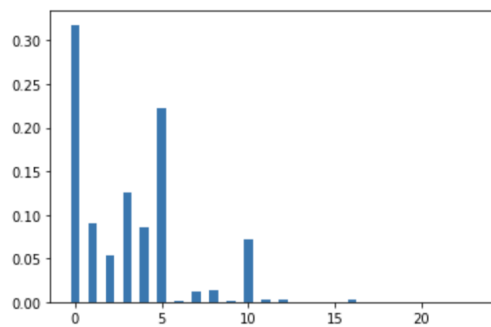
Rysunek 7.6: Macierz przejść dźwięków w generowanych próbkach

Na ilustracji zamieszczono uśrednione histogramy i macierze przejść próbek wygenerowanych przy pomocy różnych ziaren.

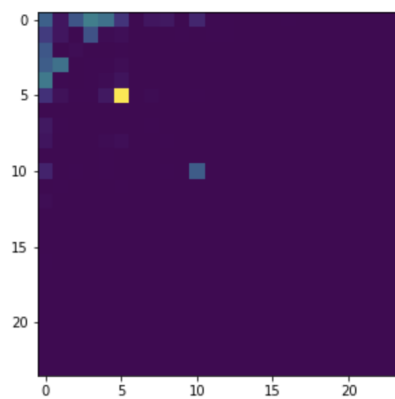
7.4 Wrażenia subiektywne

Próbki wygenerowane przez model nie dały zadowalających rezultatów. Pomimo akceptowalnego poziomu harmonicznego utworów, rytmiczność pozostawia wiele do życzenia. Zdecydowanie dominującą wartością rytmiczną była najkrótsza możliwa wartość. Najbardziej prawdopodobnym wytłumaczeniem tego zjawiska jest problem niezrównoważenia kategorii wartości rytmicznych.

Po dogłębnej analizie stwierdzono, że zdecydowana większość dźwięków o najkrótszym czasie trwania wynika z przesunięć wiadomości w plikach midi o 1 lub



Rysunek 7.7: Histogram występowania poszczególnych długości dźwięków w generowanych próbkach



Rysunek 7.8: Macierz przejść długości dźwięków w generowanych próbkach

2 wartości taktujące. Dla kontekstu, najczęściej stosowaną prędkością taktowania jest 120 taktów na ćwierćnutę. Źródłem tego zjawiska mógł być zamierzony zabieg wprowadzający element niedoskonałości, mający na celu wprowadzenie ludzkiego charakteru nagrania wykonywanego przez prawdziwych artystów. Niestety, zabieg ten uniemożliwił generowanie subiektywnie akceptowalnych sekwencji.

Na podstawie powyższych wniosków, podjęto ponowną próbę uczenia. Tym razem, zbiór danych został ograniczony o powyżej opisane dźwięki. Proces uczenia i generowania został przeprowadzony w ten sam sposób co poprzednio.

Tym razem wyniki, choć wciąż nie idealne, były conajmniej akceptowalne. W generowanych utworach obserwowalny był zupełnie inny rozkład długości dźwięków. Sekwencje w subiektywnym odczuciu były dużo mniej chaotyczne, a zwiększone długości dźwięków pozwalały na skupienie się na następujących dźwiękach.

Spośród sekwencji powstałych przy pomocy różnych ziaren, subiektywnie najbardziej interesujące wyniki zostały otrzymane przy początkowaniu generacji pojedynczym dźwiękiem lub pustymi wektorami. Fakt ten można próbować tłumaczyć pozostawieniem sieci największej swobody przy generowaniu sekwencji, lecz jest to jedynie spekulacja oparta na bardzo ograniczonej liczbie obserwacji.

Uzasadnione są zastrzeżenia co do tak inwazyjnej ingerencji w zbiór danych jaką jest eliminacja wszystkich przedstawicieli konkretnej klasy. Z technicznego punktu widzenia bardziej poprawnym rozwiązaniem mogłoby być dynamiczne skalowanie wartości błędu predykcji dla poszczególnych przypadków w czasie uczenia, w taki sposób aby mniejsza waga była przywiązywana do przedstawicieli nadreprezentowanej klasy.

Rozdział 8

Wnioski

W niniejszej pracy przedstawiono jedynie jedno z możliwych podejść do rozwiązania problemu, jakim jest generowanie muzyki za pomocą metod uczenia maszynowego.

Pomimo nie osiągnięcia w pełni satysfakcjonujących rezultatów, cały proces był niezwykle pouczający. Liczność oraz daty powstania dostępnych źródeł literaturowych wskazują, że problem jest aktualny i wciąż prowadzone są badania na temat zastosowania metod sztucznej inteligencji w zadaniach, które można określić mianem twórczych. Bogata treść studiowanych prac przedstawia szeroką gamę różnych podejść do powyższego problemu.

Kształcącym elementem pracy był również rozległy proces wstępnej analizy możliwych sposobów rozwoju projektu. Do etapów składających się na finalne efekty pracy należało porównaniw odmiennych formatów danych muzycznych, opracowanie numerycznej reprezentacji danych, dobór zbioru treningowego oraz samego projektu architektury modelu. Razem z opracowywaniem metod przetwarzania danych będących intuicyjnie efektywniejszymi, tworzone również były założenia ograniczające wyniki i potencjalne zastosowania. Przykładem takiego kompromisu jest automatyczne wykrywanie najczęstszych wartości rytmicznych, pozwalające na dyskretyzację reprezentacji czasowej bez manualnego definiowania zbioru dozwolonych wartości, odbywające się kosztem całkowitej swobody jaką oferuje format midi. Do ograniczeń opisanego procesu można zaliczyć między innymi niemożliwość reprezentowania utworów wieloinstrumentowych, ograniczony słow-

nik wielodźwięków oraz stratność przekształcenia plików midi na macierze i ponownego przetworzenia macierzy na plik midi. Rozdział dotyczący uczenia modelu zaprezentował podstawowe kroki, jakie należy poczynić podchodząc do dowolnego problemu uczenia maszynowego. Do najważniejszych należy projekt architektury modelu, dobór miar i funkcji kosztów oraz walidacja modelu. Opisywany etap pracy również pozwolił na zapoznanie się z współczesnymi narzędziami ułatwiającymi wszelkie zadania uczenia maszynowego, takimi jak Tensorflow, TensorBoard i Google Colab.

Otrzymane rezultaty nie spełniały wszystkich oczekiwań, lecz wykazywały co najmniej poprawność i częściowy sukces obranego podejścia. Jedną z przyczyn zastrzeżeń potencjalnie mógł być sam zbiór danych, nie zawierający wystarczającej różnorodności pozwalającej na skuteczną generalizację zależności opisujących powszechnie akceptowalne zasady harmonii i rytmiki.

W celu osiągnięcia rezultatów spełniających bardziej rygorystyczne oczekiwania, słusznym krokiem byłoby ponowne wybranie zbioru danych treningowych, tym razem składającego się z większej ilości próbek i nieobarczonego wadą opisaną w rozdziale poświęconym procesowi uczenia. Dodatkowo, słusznym krokiem mogłoby okazać się użycie metod augmentacji danych. W przypadku muzyki, mogłoby to być transponowanie utworów na inne tonacje, co wymusiłoby na modelu interpretacji zależności między interwałami muzycznymi, a nie konkretnymi dźwiękami. Wraz z zmianą danych oraz ich objętości, konieczna byłaby ponowna parametryzacja modelu i procesu uczenia.

Interesującym kierunkiem, który jest podatny na dalszą eksplorację są inne rodzaje architektur sieci neuronowych. Pomimo że problem inherentnie opiera się na analizie sekwencji co silnie sugeruje wykorzystanie rekurencyjnych sieci typu Long-short Term Memory, możliwe są konstrukcje modeli odmienne od przytoczonych. Jedną z nich są modele typu sequence-to-sequence encode-decoder, na których wyjściu i wejściu są sieci LSTM, lecz dane pomiędzy nimi są kompresowane do jednowymiarowego tensora, który potem jest ponownie przekształcany na sekwencję. Alternatywnym podejściem szeroko stosowanym w problemach transferu stylu i generacji obrazów, są modele generacyjno-adwersyjne (Generative-Adversarial Models), składające się z sieci uczącej się generowania próbek i sieci uczącej się rozróżniać oryginały od falsyfikatów.

Problem generowania utworów muzycznych jest jednym z problemów przekraczających granice, które jeszcze w nieodległej przeszłości wydawały się niemożliwe do przekroczenia. Zadanie to kieruje nas na wiele pytań dotyczących definicji inteligencji, kreatywności oraz zdolności sztucznej inteligencji do tworzenia sztuki. W niedalekiej przyszłości możemy spodziewać się stosowania metod uczenia maszynowego na szeroką skalę również w dziedzinach, które obecnie uznaje się za wyłącznie osiągalne przez ludzi.

Bibliografia

- [1] Nipun Agarwala, Yuki Inoue, Axel Sly. Music composition using recurrent neural networks. 2017.
- [2] Balázs Csanád Csáji. Approximation with artificial neural networks. 2001.
- [3] Gaetan Hadjeres, Francois Pachet, Frank Nielsen. Deepbach: a steerable model for bach chorales generation. *ICML*, 2016.
- [4] Sepp Hochreiter, Jürgen Schmidhuber. Long short-term memory. *Neural computation*, 9:1735–80, 12 1997.
- [5] Warren S. McCulloch, Walter Pitts. A logical calculus of the ideas immanent in nervous activity. *The bulletin of mathematical biophysics*, 5(4):115–133, Dec 1943.
- [6] Tomas Mikolov, Kai Chen, Gregory S. Corrado, Jeffrey Dean. Efficient estimation of word representations in vector space. *CoRR*, abs/1301.3781, 2013.
- [7] Olof Mogren. C-rnn-gan: Continuous recurrent neural networks with adversarial training. *ArXiv*, abs/1611.09904, 2016.
- [8] C. E. Shannon. Communication in the presence of noise. *Proceedings of the IEEE*, 72:1192–1201, 1949.
- [9] Vitor A. A. Souza, Sandra Eliza Fontes de Avila. Deep neural networks for generating music. 2018.
- [10] Bob L. Sturm, João Felipe Santos, Iryna Korshunova. Folk music style modeling by recurrent neural networks with long short term memory units. 2015.

-
- [11] Aäron van den Oord, Sander Dieleman, Heiga Zen, Karen Simonyan, Oriol Vinyals, Alex Graves, Nal Kalchbrenner, Andrew W. Senior, Koray Kavukcuoglu. Wavenet: A generative model for raw audio. *SSW*, 2016.
 - [12] Jian Wu, Changran Hu, Yulong Wang, Xiaolin Hu, Jun Zhu. A hierarchical recurrent neural network for symbolic melody generation. *ArXiv*, abs/1712.05274, 2017.
 - [13] Li-Chia Yang, Szu-Yu Chou, Yi-Hsuan Yang. Midinet: A convolutional generative adversarial network for symbolic-domain music generation. *ArXiv*, abs/1703.10847, 2017.
 - [14] Li-Chia Yang, Alexander Lerch. On the evaluation of generative models in music. *Neural Computing and Applications*, strony 1–12, 2018.